

3.4 Petites chaînes et applications

3.4.1 Le théorème des petites chaînes.

Si $\mathcal{U} = \{U_i\}$ est une collection de sous-ensembles de X , on note

$$C_m^{\mathcal{U}}(X, A) = \left\{ \sum a_j z_j \in C_m(X, A) \mid \begin{array}{l} \text{chaque } z_j: \Delta^m \rightarrow X \\ \text{à image incluse dans un des } U_i \end{array} \right\}.$$

Ces groupes forment un complexe $C^{\mathcal{U}}(X, A) = (C_m^{\mathcal{U}}(X, A), \partial_m)$, dont on note l'homologie $H_m^{\mathcal{U}}(X, A)$.

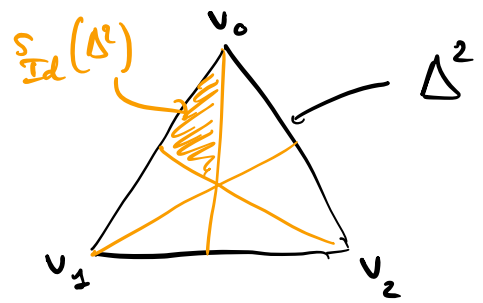
Th (petites chaînes) : Si les intérieurs des U_i recouvrent X , alors l'inclusion

$$i: C^{\mathcal{U}}(X, A) \subseteq C(X, A)$$

est une équivalence d'homotopie de complexes (au sens où il existe un morphisme de complexes $p: C(X, A) \rightarrow C^{\mathcal{U}}(X, A)$ tel que $i \circ p$ et $p \circ i$ sont homotopes à l'identité).

Corollaire : $i_*: H_m^{\mathcal{U}}(X, A) \xrightarrow{\sim} H_m(X, A)$.

Preuve du th: (On fait $A = \mathbb{Z}$ pour simplifier)



Etape 1: Subdivision barycentrique

Pour $\alpha \in \mathcal{S}_{n+1}$, on note $s_\alpha: \Delta^n \rightarrow \Delta^n$

L'application affine envoyant v_0, \dots, v_n sur $v_{\alpha(0)}, \frac{v_{\alpha(0)} + v_{\alpha(1)}}{2}, \dots, \frac{v_{\alpha(0)} + \dots + v_{\alpha(n)}}{n+1}$

$$\text{i.e. } s_\alpha(t_0, \dots, t_{n+1}) = t_0 v_{\alpha(0)} + t_1 \frac{v_{\alpha(0)} + v_{\alpha(1)}}{2} + \dots + t_{n+1} \frac{v_{\alpha(0)} + \dots + v_{\alpha(n)}}{n+1}$$

Si $\mathcal{Z}: \Delta^n \rightarrow X$ simple simplicial, on pose

$$S(\mathcal{Z}) = \sum_{\alpha \in \mathcal{S}_{n+1}} \varepsilon(\alpha) \mathcal{Z} \circ s_\alpha$$

↑ signature

qui s'étend par linéarité au l'opérateur de subdivision

$$S_n: C_n(X, \mathbb{Z}) \longrightarrow C_n(X, \mathbb{Z})$$

$$\sum_j a_j \sigma_j \longmapsto \sum_j a_j S(\sigma_j)$$

Un calcul montre que $S_n \circ \partial = \partial \circ S_n$, i.e. que $S = (S_n)$ est un morphisme de complexes

Etape 2: S est homotope à l'identité

On construit $h_n: C_n(X, \mathbb{Z}) \rightarrow C_{n+1}(X, \mathbb{Z})$ tels que

$$\begin{cases} \partial_0 h_n + h_{n-1} \partial_n = \text{Id} - S_n, \\ h_n \circ f_* = f_* \circ h_n, f: X \rightarrow Y \text{ C}^0. \end{cases}$$

- Récurrence sur $n \geq 0$. Cas $S_0 = \text{Id}$, on peut prendre $h_0 = 0$.
 - Soit $n \geq 1$. Appliquons l'hypothèse de récurrence à $\partial_n i_n$, $i_n: \Delta^n \rightarrow \Delta^n$: l'identité.
- $$\partial_n h_{n-1} \partial_n i_n + h_{n-2} \underbrace{\partial_{n-1} \partial_n i_n}_{=0} = \partial_n i_n - \underbrace{S_{n-1} \partial_n i_n}_{\partial_n S_{n-1} i_n}.$$

Ainsi, $\partial_n (i_n - S_n i_n - h_{n-1} \partial_n i_n) = 0$.

Cas Δ^n est contractile, $H_n(\Delta^n, \mathbb{Z}) = 0$ et il existe $c_{n+1} \in C_{n+1}(X, \mathbb{Z})$ tel que

$$(*) \quad i_n - S_n i_n - h_{n-1} \partial_n i_n = \partial_{n+1} c_{n+1}$$

- Pour $z: \Delta^n \rightarrow X$ simple singulier, on pose $h_n(z) = \sigma_* c_{n+1}$.

On étend cette définition par linéarité: $h_n: C_n(X, \mathbb{Z}) \rightarrow C_{n+1}(X, \mathbb{Z})$

$$\sum a_j z_j \mapsto \sum a_j h_n(z_j)$$

- Appliquons z_* à $(*)$: il vient $z - S_n(z) = h_{n-1} \partial_n z + \partial_{n+1} h_n z$
car z_* commute à ∂, S, h .

- Si $f: X \rightarrow Y \text{ C}^0$, $f_* h_n(z) = f_* \sigma_* c_{n+1} = (f \circ \sigma)_* c_{n+1} = h_n(f_* z)$.

Etape 3 : Pour $k \geq 0$, S^k est convexe à Id

$$\text{Posons } R^{(k)} = \sum_{i=0}^{k-1} R S^i$$

$$\begin{aligned} \text{Alors } \partial R^{(k)} + R^{(k)} \partial &= \sum_{i=0}^{k-1} \partial R S^i + R S^i \partial \\ &= \sum_{i=0}^{k-1} (\partial R + R \partial) S^i \\ &= \sum_{i=0}^{k-1} (\text{Id} - S) \cdot S^i = S^k \end{aligned}$$

Etape 4 : Pour $z: \Delta^m \rightarrow X$ simplex régulier, et $k \gg 0$
 $(S_n^k)(z) \in C^u(X, \mathbb{Z})$.

Soit $V_i = z^{-1}(\dot{U}_i)$. Comme Δ^m est compact, il existe $\epsilon > 0$ tel que toute boule de rayon ϵ de Δ^m est incluse dans un des V_i .

$S_n^k(z)$ est combinaison linéaire des $z \circ \underbrace{s_{\alpha_1} \circ \dots \circ s_{\alpha_k}}_{\text{l'image de cette application}}$, $\alpha_i \in \mathcal{S}_{n+1}$.

l'image de cette application
a diamètre $\leq \text{diam}(\Delta^m) \cdot \left(\frac{n}{n+1}\right)^k < \epsilon$ pour $k \gg 0$ par ϵ

Lemme : $x_0, \dots, x_n \in \mathbb{R}^d$ Alors

$$\text{diam Conv}\left(x_0, \frac{x_0+x_1}{2}, \dots, \frac{x_0+\dots+x_n}{n+1}\right) \leq \frac{n}{n+1} \text{diam Conv}(x_0, \dots, x_n).$$

Preuve : Conséquence de l'inégalité triangulaire!

Alors chaque terme apparaît dans $S_n^k(z)$ a image incluse dans un des \dot{U}_i .

Etape 5: Conclusion

Si $z: \Delta^n \rightarrow X$ simple singulier, on note $k(z)$ le plus petit k tel que $S_m^{k(z)}(z) \in C_m^u(X, Z)$ pour z de la forme $z \circ \phi_{j_1} \circ \dots \circ \phi_{j_r}$.

On pose $H(z) = h^{(k(z))}(z)$.

Comme $\partial h^{(k(z))}(z) + h^{(k(z))}(\partial z) = z - S^{k(z)}(z)$,

$$(*) \quad \partial H(z) + H(\partial z) = z - \underbrace{[S^{k(z)}(z) + h^{(k(z))}(\partial z) - H(\partial z)]}_{:= \rho_m(z)}$$

• $\rho_m(z) \in C_m^u(X, Z)$. * $S^{k(z)}(z) \in C_m^u(X, Z)$ par def. de $k(z)$

* Soit c un simplex interne à ∂z . Il est de la forme $z \circ \phi_j$ et on a donc $k(c) = k(z \circ \phi_j) \leq k(z)$. Ainsi:

$$h^{(k(z))}(z) - H(z) = (h^{(k(z))} - h^{(k(z))})(z)$$

$$= \sum_{i=k(z)}^{k(z)-1} \underbrace{h^{(i)}(z)}_{\in C_m^u(X, A)} \in C_m^u(X, Z) \text{ car } h \text{ mesure } C_m^u(X, Z).$$

• $\rho \partial = \partial \rho$. $\partial \rho(z) = \partial z - \partial H \partial z = \rho \partial(z)$

deux applications de (*)

• $\rho \circ i = \text{Id}$ car si $z \in C_m^u(X, Z)$, $k(z) = k(\partial z) = 0$ d'où $\rho(z) = z$.

• $i \circ \rho$ homotope à Id par (*)